

# データベースマシン実験システム

## An Experimental Database Machine System

牧野武則, 稲崎勝也, 水澤正行, 梅村護, 日吉茂樹, 渡辺正信

T. Makino, K. Hakozaki, M. Mizuma, M. Umemura, S. Hiyoshi, M. Watanabe

日本電気(株) 中央研究所

Central Research Laboratories, Nippon Electric Co. Ltd.

### 1. はじめに

データベースシステムに対する需要の増大とともに、大量データを統合的に管理するデータベース管理システムの高速度化が望まれている。いわゆる汎用計算機にとって、非数値データの処理効率は必ずしもよいとはいえず、大量のハードウェアを投入して得られた演算能力は、データベース処理の性能向上には、それ程の効果はない。このような背景をもとに、汎用計算機からデータベース処理機能を切り離し、専用サブシステムにより効率よく実行すること、システム全体の性能向上を計る方式が研究されている。

データベースマシンには、すでに多くの解説論文(例えば[1])により紹介されているように、いくつかのアプローチがある。これらのアーキテクチャは、変形はあるにしても、検索アルゴリズムにより、RAP[2]のような並列フルスキャン、通常のデータベース処理で採用されているインデックスやリンクによる検索、およびそれらの中間形としてみることが出来るDBC[3]のような部分並列スキャンに分けることができる。それぞれ特徴を有しており、データベースマシンの適用領域によりその効果が検討される。RAPのような疑似連想メモリによるデータ検索は魅力的ではあるが、近い将来高速で安価な連想メモリが得られる保障がないこと、定型処理については、インデックスやリンクによるデータ検索が依然として強力であることから、商用を意識したデータベースマシンでは、インデックスやリンクによるデータ検索

をサポートするアーキテクチャが有用であると考えられる。

実験システムは、本データベースマシンの概念である汎用データベースサブシステム(GDS)[4]のミニコンピュータによる実現を主体とし、汎用システムをホスト計算機として結合した、主記憶共有型の機能分散多重プロセッサ構成である。当初、文献[4]で紹介したように、基本モジュールをハードウェアで実現することを考えていたが、実験システムでは、GDS全体はソフトウェアとファームウェアにより実現している。しかしながら、この実験システムで得られた性能データにより、ソフト/ファーム/ハードトレードオフに関する情報が得られるよう設計されている。

ホスト計算機との結合は、性能を支配する大きな問題である。この実験では、ホストとGDS間のデータ/コマンド転送時間を最少にするため、主記憶を共有するようにしている。一方GDSの起動、終了の通知は、ホスト計算機のOSの変更を避けるため、I/Oインタフェースを使用し、ホストからは、GDSがI/O装置にみえる方式をとっている。

ここでは、まずDBMで実現しているデータベースサブシステムGDSの簡単な説明をし、次に実験システムの構成について述べる。そして実験システムで得られた性能評価データをもとに、DBMの有効性と、さらに高性能化を追求した場合のDBMの性能と、DBMアーキテクチャとともに議論する。

## 2. 汎用データベースサブシステム (GDS)

DBMがいろいろなタイプのデータベースシステム (CODASYLやRDB) に共通に支援できるように、汎用性の高いデータベースサブシステムインタフェイス (GDI) が設定された。GDIの論理機能は、GDSによりサポートされる。Fig. 1に、DBM (ここでは、GDPと呼んでいる) を有するデータ管理システムの構成を示す。

### [GDI]

GDIは、汎用の高レベル機能インタフェイスである。基本的には、CODASYL型のDML (データ操作言語) に対応する単一レコードインタフェイスであり、RDBを意識した機能が強化されている。付録Aに、GDIコマンドのうち、データ操作に関するコマンドの一覧を示す。

GDIコマンドの機能を説明するために、Fig. 2に、簡単な問い合わせ (query) に対するGDIコマンドの展開例を示す。展開されたシーケンスの流れは、まず、GDSからトランザクションIDを受け取り、次に、エリアの候補を調べる。そして、Fig. 2aで示す問い合わせの処理に入る。この問い合わせ言語はINGRESのQUEL [5] に準じている。仮りにSALに2次キーインデックス (image) が設定されているとすると、まず、アクセスパスを確立 (003)、imageを介し直接検索を行う。同時に第2の条件であるDEPTに対する比較を行う。この第2の条件も満足すれば、ターゲ

```
E range EMP
retrieve E.NAME, E.AGE
where E.SAL > 100000
      E.DEPT = TOY
```

Fig. 2a Example of Query

```
001 START-TRANS return( trans-id )
002 USE-AREA( area-id, usage-mode,
            lock-mode, trans-id )
003 INITIATE-PATH( area-id, path-id,
                record-id ) return( cur-id )
004 GET-IMAGE-DIRECT( cur-id, key-value,
                key-condition ) return( rad )
005 GET-IMAGE-NEXT return( rad )
006 RELEASE-PATH( cur-id )
007 RELEASE-AREA( area-id, trans-id )
008 END-TRANS( trans-id )
```

Fig. 2b GDI Command Sequence

ットリストで指定されるフィールド値を、MMに転送する。次のNEXTコマンドは、前のコマンドでポイントされたアクセスパス上の位置から、第2の条件を満足する次のレコードを検索し、存在すればフィールド値を、存在しなければ "Null" を転送する。一連の処理が終了すれば、使用したアクセスパス、エリアをリリースし、トランザクションを終了させる。

このように、GDIコマンドは、問い合わせの処理を効果的に実行することができ、RDBタイプのデータベースシステムをサポートすることができる。一方、CODASYLタイプのデータベースシステムの支援は、文献 [7] で詳細に述べられる。

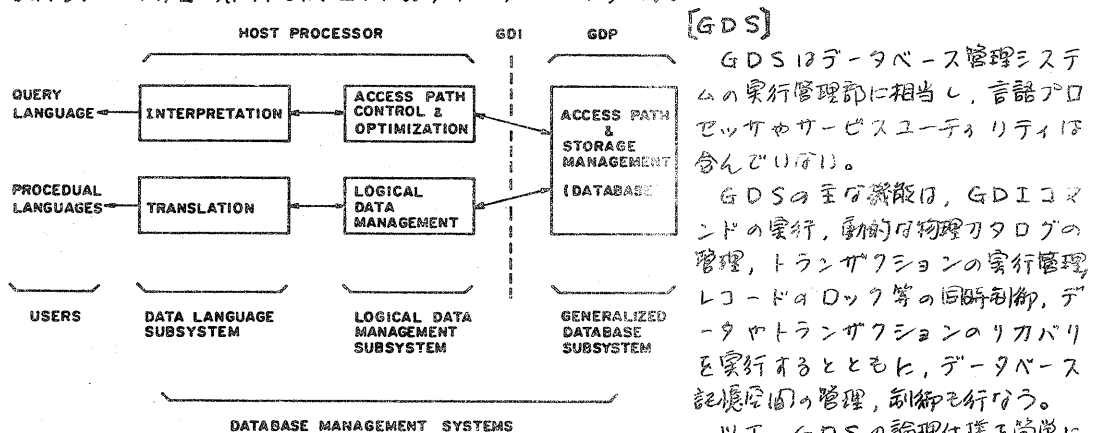


Fig. 1 Conceptual Database Management System Structure

### [GDS]

GDSはデータベース管理システムの実行管理部に相当し、言語プロセッサやサービスユーティリティは含んでいない。

GDSの主な機能は、GDIコマンドの実行、動的な物理カタログの管理、トランザクションの実行管理、レコードロック等の同時制御、データやトランザクションのリカバリを実行するとともに、データベース記憶空間の管理、制御を行う。

以下、GDSの論理仕様を簡単に示す。設計概念は文献 [4] に述べられている。

## 論理空間

論理空間の表現は (area#, page#, lines) であり、それぞれ、2バイト、3バイト、1バイトで表わされる。areaは複数の record class (relation) と、2次元アクセスパス (image と link)、およびそれらのカタログ (物理スキーマ) とリカバリのためのログ情報、ページテーブルを含む。

pageは、固定長レコード用と可変長レコード用の2種があり、サイズは4kバイト\*である。また、1つのページは複数の record class で共有される。これらの制限により、処理効率の向上と、ページ管理を容易にしている。ページヘッドには、論理的な前ページと次ページのページ名が格納されており、ある record class のスキャンを可能にしている。

## 格納構造

データベースのオブジェクトは、次の3つの格納構造のうち1つに従って格納される。

- キーシーケンシャル構造
- キーランダムアクセス構造
- エントリシーケンシャル構造

record classは、その処理される特徴によって、いずれかの格納構造を選ぶことができる。エントリシーケンシャル構造では、データの生成順の他、レコードアドレスを指定した近傍格納によって、データのクラスタリングを行うこともできる。area内でのページのアドレスは、動的に行われるが、キーランダムアクセス構造の場合は、初期ロード時に連続したページ名をもつページをリガーブしておかなくてはならない。

## アクセスパス

SYSTEM-R [6]と同じように、image と link と呼ぶ、2種のアクセスパスをもつ。imageは、2次元インデックスを意味し、B-tree [8]で維持される。一方、linkは、CODASYLのsetと同じであり、1つの親レコードと複数の子レコードとを結ぶものである。

\* オブジェクトのページは4kバイトにしているが、最大ページ内エントリ数が256のため、エントリ長が16以下の場合、空きスペースが多くなる。従って、ページサイズを固定にするならば、122kバイトにすべきであった。

imageは値による検索に使用され、linkはCODASYLのsetに沿った検索、および、RDBの候補キーによるjoin演算のサポートに使用される。

## トランザクションの管理

GDSへの処理要求は、トランザクション単位に管理される。まず、START-TRANSACTIONが実行されるとGDSは、その時点でユニークな trans-id を返す。以降、この trans-id をロックの管理、I/O待ち、トランザクションバックアウト情報の収集・管理が行われる。END-TRANSACTIONを受けると、GDSは、そのトランザクションに関するロックの解除、制御ブロックの解放を行なう。

## 同時処理制御

areaの独占権は、START-TRANSACTIONのすぐあとに出される USE-AREA コマンドの実行時に調べられる。使用モードは、検索/更新、ロックモードは共有/アロケイト/排他であり、トランザクションはFIFOの順に use area queue につまみ、使用権が確立すると ready queue に送られ、実行に入る。

一方、実行中のレコードロックは排他ロックのみであり、必要なときにレコードをロックすることができる。ロックされているオブジェクトをロックしようとする場合、lock wait queue につまみられるが、この時、この wait で dead lock になるか否かが調べられる。

このロック機構の詳細は、文献[9]に報告している。

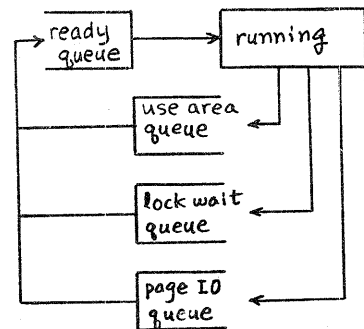


Fig. 3 Transaction state

### 3. 実験システム

実験システムは、DBMの有効性を確認・検証することを主な目的としてあり、この具体的な目的は次の項目を含む。

- ・ GDS 基本仕様の実現性の確認
  - ・ 専用プロセッサの性能予測データの収集
  - ・ 商用システムにおける技術的課題の明確化
- 以上の目的に沿って実験システムの構築を行った。この実験システムは、かならずしも最良の構成をとっているわけではなく、少なくとも上の目的を達成するため、次の方針を取っている。

- ・ 手探りのホスト、ミニコンピュータを使用し、必要な改造を加える。
- ・ GDS を機能別に切り分けて、機能モジュールのハード/ファーム/ソフトのトレードオフが議論できるようにする。
- ・ 基本モジュールはファームウェア化し、ファームウェアの効果を把握する。
- ・ DB I/O については別途評価する。
- ・ プロセッサ間通信は、ホスト OS の改造を避けるため、PSI (I/O インタフェイス) を使用する。
- ・ GDI を介して、ホストで ADBS や RDB を実現し、実験できるようにする。
- ・ 実験システムで収集できるデータ (I/O 関係) は、実験システムの測定や解析モデルにより充足する。

Fig. 4 は実験システムの構成を示す。ホスト計算機は、ACOS-400 (汎用中型システム) を使用し、DBM は、バリエーションのミニコンピュータ V-76 を中核に、ホストとの結合機構を付加して実現している。

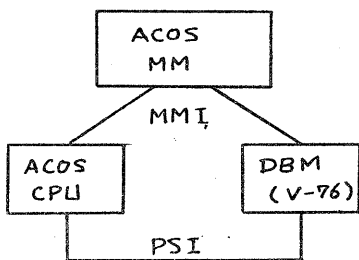


Fig. 4 Experimental system

#### 3.1 データベースマシン (DBM)

DBMの中核であるミニコンピュータ V-76 の性能仕様は次のとおりである。

- ・ メインメモリ : サイクル 660 nsec  
容量 2バンク (32Kワード/バンク)
- ・ WCS : サイクル 195 nsec  
容量 2Kワード (64ビット/ワード)
- ・ 命令実行時間  
1ワード命令 : 1320 nsec  
2ワード命令 : 1980 nsec  
マイクロプログラム : 195 nsec

I/O デバイスは、DB 格納とプログラム格納のため、5Mバイトのディスクを持つ。

WCS はマイクロプログラムで実現される GDS 基本モジュール等、ファームウェアが格納される。実際に使用している容量は、基本モジュールと DBM システム制御を合せ、2K ステップである。

メインメモリは、DB バックアップと、ソフトウェアで実現された GDS 機能モジュールが格納される。片方のバンクには、ソフトウェアと制御テーブル類が、他方のバンクはバックアップとして使用される。

#### 3.2 結合機構

ホストである ACOS システムと DBM は、MMI (メインメモリインタフェイス) を介して、ACOS のメインメモリを共有する。さらに、DBM は、PSI を介して、ACOS システムのチャンネルに結合されている。

MMI は主として、データ/コマンド/パラメータの転送に使用され、それらの転送オーバーヘッドを最少にしている。

一方、PSI は、DBM へのトランザクションの起動と、ACOS への終了通知を行うために用いられる。

Fig. 5 は、PSI を介した DBM の起動、GDI コマンドの実行、終了通知、プロセス間の通信方式を示している。

ユーザプログラムは、実行すべき GDI コマンド (列) を UCA (通信エリア) に置き、そのアドレスをパラメータとして、Call GDI を出す。Call GDI は、I/O 命令として解釈され、PIO ルーチンが、セマフォに p-op を出るとともに、PSI を介して、UCA アド

レスをDBMに送る。DBMは送られたアドレスにより、GDIコマンドを取り込み実行に入る。検索キー値や検索結果はUWA(ワークエリア)と直接転送する。一連の処理が終了するとDBMは、ACOSにPSIを介して終了通知を送り、この通知を受け取ったPIOルーチンがセマフォにV-opを出し、ユーザプログラムに処理を渡す。

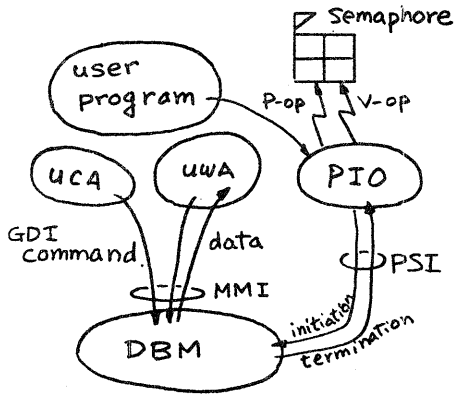


Fig. 5 Control & data flow

### 3.3 機能モジュール

GDSの機能は、設計の容易さと、機能別の性能測定・評価を可能にするため、機能モジュールに分けられる。Fig. 6 に機能モジュールの一覧を示す。

機能モジュール間には、アリティプとそれに行随するパラメータが定義される。定義されたパラメータにより、機能モジュールに対するトランザクション制御ブロック内のパラメータボックスを定める。

GDSの実行は、function call命令により、機能モジュールを渡り歩くことで行われる。function call命令は、ソフトウェアモジュール間では、return address stack & jump命令に、ファームウェアモジュール呼び出し場合は、WCS call命令、ハードモジュール呼び出し場合はIO命令にコンパイル時表に置き換わる。Fig. 7に、機能モジュール間の連絡を示す。GPR-5にはtrans-idが置かれ、機能モジュールは常に、GPR-5と参照し、TCB内のパラメータボックスをアクセスする。

GDS Function Modules	
Transaction management	
Transaction Control Module	(TCM)
Lock Control Module	(LCM)
Backout Control Module	(BCM)
Open/Close Control Module	(OCH)
Logical Data Access	
GDI Processor	(GDIP)
Access-path Generator	(APG)
Data Access Module	(DAM)
Descriptor Access	(DDA)
Physical Data Access	
Address Translation Module	(ATM)
Hash Module	(HSM)
Data Manipulation Module	(DXM)
Page Management	
Page Split/Garbage collection	(PSH)
Page Allocation/Deallocation	(PAM)
Page Replacement Module	(PRM)

Fig. 6 FUNCTION MODULE

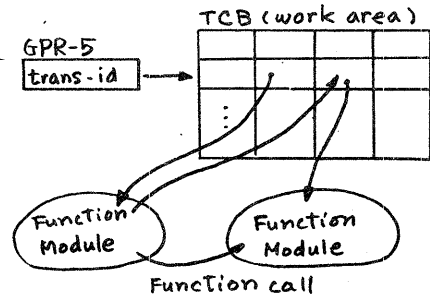


Fig. 7 Function module call

次に主な機能モジュールの処理機能と実現形態を述べる。

TCMはトランザクションのデイスパッチ制御とホストとの交信(PSI)とを主な機能としてもつ。LCMは、ATMでロック待ちが検出されたとき起動され、ロックマトリックスを維持する。OCMはエリアデイスクリプタの準備/解放を行う。

GDIPはGDIコマンドをUCAから取り込み解釈を行う。APGはデータアクセスに必要なアクセスパスの設定を行う。DAMはデータ検索、置換、更新やアクセスパスの更新とデータ格納構造にもといて実行する。DDAはデータアクセスに必要なカタログ情報を用意する。

ATMは論理アドレスをバッファ内物理アド

レスに要換するとともに、ページロック/アンロックを行ったり、ページフォルトならPRMをロックされているページが参照されるとLCMを呼ぶ。DXMは主としてDAMから呼び出し、レコード内フィールド値のread/write/compare、B<sup>+</sup>-tree pageのバイナリサーチ、レコードのページへのアロケーション/デアロケーションを実行する。

PRMはATMが使用するアドレス変換表の作成と、ページ再配置アルゴリズムを実行する。現在の仕様では、並出しはLRUによる。PAMはページテーブルの管理と、PSMはB<sup>+</sup>-tree pageのスパリット処理を行う。

#### 4. 実験システム性能評価

GDSの機能モジュール、GDIPコマンドの実行時間は、ハードウェアモニタにより詳細に測定している。システム性能については、これら測定結果により検討を行なう。

##### 4.1 機能モジュール性能

実験で採用したデータモデルをFig. 8に示す。linkは、A.a<sub>1</sub>とB.b<sub>1</sub>を結合するものか定義されており、imageはA.a<sub>2</sub>に対して設定されている。

測定では、単一トランザクションのもとで行い、I/O時間は巻込に含めない。

Table Iに、GDIPコマンド別の各モジュールの走行時間を示す。GDIP以外のモジュールの走行時間には、ファームウェア化されているATMとDXMの走行時間も含まれている。

ファームウェア化された機能モジュール単体の性能は次のとおり。

- ATM : アドレス変換, ロックの検査に要する時間は約30μsecである。
- DXM : スtringデータの駆逐・比較は1バイト当り1μsec, B<sup>+</sup>-treeページ内のバイナリサーチは128エントリの時約80μsec, ページへのレコードのアロケーション/デアロケーションは固定長の場合47μsec, 可変長の場合72μsecである。

これらの走行時間は、ソフトで実現した場合に比べて、4倍から処理によつては10倍近く速くなっている。

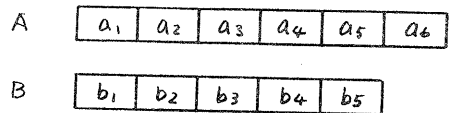


Fig. 8 Data structure

Table I Function module elapsed time

1) initiate-path : 788.4 μsec

GDIP	APG	DDA
42.4	361.6	384.4

2) get-image-direct : 3818 μsec

GDIP	DAM	
	image	f-move
97.0	390.0	3419.0

3) get-image-next : 4825 μsec

GDIP	DAM		
	image	f-move	compare
97.0	775.0	3419.0	534.0

4) get-link-next : 3873 μsec

GDIP	DAM		
	link	f-move	compare
88.0	366.0	3419.0	

5) store : 6184 μsec

GDIP	DDA/DAM			
	allocate	link-mod	image-mod	f-modify
211	435	1975	108.4(7)	3455

6) update : 1145 μsec

GDIP	DAM	
	check-key	f-modify
154	496	497

7) add-image-entry (internal) : 2040 μ

GDIP	DAM/APG			
	fetch-key	add-image	initiate-p	release-p
207	325	363	1095	50

Table I で示した GDI コマンド実行時間を評価するには、汎用システムで稼働するデータベースシステムと比較することが望ましい。しかし、コマンドレベルの違い、機能が正確に対応しないことなど、同じ環境では比較が難しい。そこで、仮りに、汎用中型システムである ACOS-400 で、ADBS の DML により似た処理を行わせるとすると、DBM の方が、2 倍からコマンドによっては 10 倍程度速くなっている。

#### 4.2 プロセッサ間通信性能

MMI を介したメインメモリアクセスは ACOS とは独立に行われる。転送時間はメモリサイクルスチールに成功したとき、1  $\mu$ sec/4word であり、ACOS がメモリを参照しているときは、1 サイクル遅らされる。

PSI を使用した送信時間は、DBM 起動時間と DBM から送られてくる終了通知と処理する時間を含め、平均 5 msec 要している。この時間は、直接のプロセッサ間通信を行えば、10  $\mu$ sec (予想値) ぐらいにはなればよい。

#### 4.3 システム性能

DBM を導入した場合のシステム性能は、DBM にオフロードされるデータベース処理がシステム全体の何%になるかが問題になる。

いま、対象システムを中型汎用システムとすると、DBM は 2~10 倍の性能を示す。ただし、I/O 処理やプロセッサ間送信時間は無視する。DBM が平均 5 倍の性能を示すとすると、汎用システムから 80% 以上、DBM にオフロードして、DBM がネックにならない。汎用システムから 80% オフロードできたとなると、システムスループットは、ホストネットワーク (20%) で決まり、5 倍に向上する。

(しかし、CODASYL タイプ (ACBS) では、DBM にオフロードできるのは 40% 程度であり、ホストには 60% の処理が残る。この場合、システムスループットは約 1.7 倍となり、DBM 付加により、70% のパフォーマンス向上が得られる。

一方、同じ台数タイプでは、DBM にオフロードできる割合は、70% に達し、この場合には、システムスループットは 3 倍になる。

システム性能/価格比からみると、汎用プロセッサに比べ、ミニコンピュータのプロセッサのコストはかなり低く、仮りに 1/5 とすると、オフロード率 70% 時、性能/価格比は 3/1.2  $\div$  2.7、オフロード率 40% 時 1.7/1.2  $\div$  1.4 と予想され、システムレベルで比較しても、DBM の導入効果は大きいといえる。

さらに詳しい DBM の導入効果は、文献 [10] に併行行列による解析を報告している。

### 5. 高性能データベースマシン

実験システムで実現した DBM の評価から、専用プロセッサによって、データベース処理に適合したファームウェアモジュールや、システム管理を行うことにより、汎用システムを上回る性能を実現できることが確認された。

この実験システムは当初考えられていた、高性能を追求した実現形態にはなっていない。ここでは、実験評価において気がついた処理アルゴリズムの変更や、およびハードウェア化の効果について述べる。

Table I で、GDI コマンド実行時間の大部分は、field-move で費やされている。例えば、get-image-direct の場合、image を検索し、record address を得るまでが 390  $\mu$ sec に対して、7 つの field 値を転送するのに 3400  $\mu$ sec かかっている。この原因は、field descriptor をサーチする時間が長いこと、1 つの field 値の転送にアドレス変換が入っていること等による。この時間はカタログ内の field descriptor の格納構造、および、field 値の転送方式を改善することで 1/5 以下にできることがわかっている。

一方、ハードウェア化の効果の大きい機能モジュールは、ATM (アドレス変換モジュール) と DXM (データ操作モジュール) である。現 DBM では、これらはファームウェア化されているが、それでも GDS 全体の走行時間の 40% 以上をこの 2 つのモジュールの走行時間で示している。さらに、ATM と DXM の走行時間比をみると、ほぼ 1.8 対 1 となっている。モジュールをハードウェア化したときの走行時間は、専用デバイスとハードウェアブロック図、タイムチャートを作成すれば、算出できる。

• ATM

文献[4]で述べたTLB (table lookaside buffer)に似た構成にする。使用メモリはスタックMOS RAMとすると1μsec以下で実現できる。したがって、現DBMに比べ、30分の1となる。

• DXM

データベースバッファを64kビットRAMで実現し、データ中を4バイト以上にすると、ストリングのread/write/compareおよびコード変換、タイプ変換を行うハードウェアを導入する。これらにより、現DBMが1バイト当り1μsecだったストリングデータ処理を4バイト当り、500nsecにすることが出来る。

ハードウェアだけでなく、ファームウェアの導入効果も大きい。使用したミニコンピュータでは、ソフトに比べ、同じ処理をファームで実現すれば、4~10倍の処理速度の向上が得られる。しかし、使用メモリ量は、平均4倍ぐらゐ増える。コストパフォーマンスからは、やはり基本機能(DAMの一部とTCM)に制限するべきと思われる。

Fig. 9に、以上の処理最適化、ハードウェア化モジュール、ファームウェア化を行った場合の処理速度の向上を示す。例として、get-image-directの実行時間を示す。(1)は現DBMでの実行時間、(2)はfield-moveを改善した場合、(3)はATMとDXMのハード化と、DAMとGDIPのファームウェア化を行った場合の予測される実行速度を示す。

実現上、メモリ量の受け渡しやハードウェアモジュールの起動オーバーヘッドがみこまれる

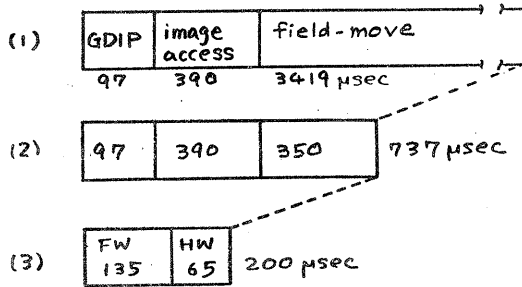


Fig. 9 Performance improvement

が、この概算には極端に表われないと考えられる。

DBMの性能向上は、処理の最適化による25倍程度改善され、ハードウェア化とファームウェア化による20倍まで改善されると予測される。

このように、データベースサブシステムの実行部は、ミニコンピュータあるいはそれに付加ハードウェアモジュールを導入する規模で、充分の性能向上が計れる。

DBMに要求される機能は、単体としての性能の他に、次の項目が満足される必要がある。

(1) 拡張性と稼働性

DBMの性能の整合と稼働性を同時に満足する解は、多重化であり、DBMを多重プロセッサ構成にする必要がある。

(2) メモリ階層管理

データベースバッファの管理方式もバッファサイズの設定とともに重要である。この方式は、実行システムの測定結果の解析[11]やページ置換アルゴリズム[12]を検討している。

(3) DBページIO

メモリ階層の高速化、高信頼性化は、高性能DBMをサポートするために要求される。この両方を解決するため、ページディスク構想[13]の検討を進めている。

(4) プロセッサ間通信

現DBMでは、ユーザプロセスとDB処理の同期制御をセマフォを介して行わねたため、PSSIを使用している。このオーバーヘッドが5msec要しているが、本来、プロセス間の直接のインタフェースによって割り込み制御を行ない、セマフォをインタフェースとして、プロセス間の制御を行うことにより、高速(数10μsecオーダー)の通信が行われる。

(5) データリカバリ

データベースでは、特にホストと独立になるDBMでは、完全なデータリカバリが要求される。この機能は、ディスクについては、ページディスクシステム[13]、DBバッファについては、SYSTEM-R[6]や前に提案した文献[4]の、旧ページと新ページの両方を維持する方法が有効である。



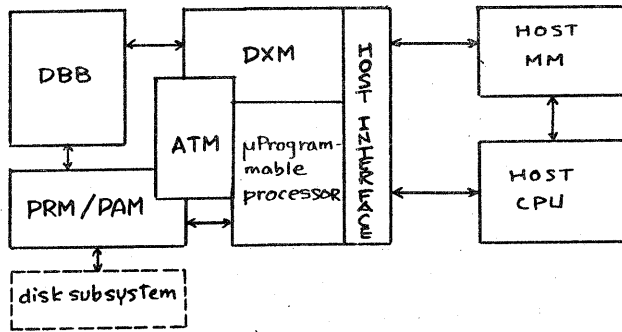


Fig. 10 High performance DBM configuration

Fig. 10 に高性能DBMの予定される構成を示す。DXM, ATMがハードウェア化され、PRMは、ページIOチャンネルとともに独立なプロセッサを構成する。マイクロプログラマブルプロセッサは、他の機能モジュールを格納するために採用される。ホストインタフェース部分は、ホストとなる計算機システムに適用するよう設計される。

DBMの高速化にともなって、DBMへのインタフェースは、GDI(単レコードインタフェース)から、Queryレベルインタフェース(集合演算インタフェース)に上げた方が効果が大きい。これについては、Query分解、アクセスパス最適化方式、user viewの維持方法について検討を進めている。

## 6. おわりに

利用データベースサブシステム(GDS)を設定し、その機能をミニコンピュータを主体とするDBM上に実現した。実験システムは、利用システムの支配権をこのDBMが共有する機能分散型の多層プロセッサ構成をなしている。

ホストとDBMの論理インタフェースであるGDIは次の特徴をえている。

- 単レコードインタフェースであり、COD ASYLのDMLより高いレベルは設定し、Query処理の最初サポートを可能にしている。
- アクセスパスの自動更新、ロックの管理はGDSが行なう。
- データベース空間の管理はGDSが行なう。

このインタフェースにより、ホストからの独立性を確保している。

実験システムの実現は、GDSの基本機能の実現性の確認と、DBMの有効性を主として性能を検証することに目的としてあり、概能別に詳細に実行時間を測定している。これら測定結果にもとづき、DBMをミニコンピュータの規模で実現したときの性能と、さら

に、ハードウェア/ファームウェア化を計った場合の性能について予測した。これらの結果は次のようにまとめられる。

- 現実実験システムのDBMで利用中型システムに比べ、2~10倍高速である。
- 現DBMの処理を見直すことで、さらに5倍程度の改善が予測される。
- ハードウェアモジュールの導入、主要モジュールのファームウェア化により、現DBMの20倍程度の性能向上が期待される。

この検討は、データベースシステムの実行管理部における比較であり、I/Oや、プロセッサ間通信は含めていない。この問題も独立に検討を行なっている。

この実験システムの評価から、理にかつた規模、コストで高性能をもつDBMが実現できることを確認した。例えば、ミニコンピュータの規模で、数Mipsの利用システムに相当する性能を、ハードウェア化、ファームウェア化を企てることで、数10 Mipsの利用システムに相当する性能を得ることが期待される。

高性能DBMの導入は、現在、CPUネットワークといわれている問合せ処理や query by example(QBE)を強かにサポートするとともに、さらに高度の機能をもちだそう知能データベースシステムへ性能の面から道を拓くと思われる。

## 謝辞

このデータベースマシン実験システムの開発において、コンピュータ技術本部、基本ソフトウェア開発本部の北村部長、笠家部長、関野至

任をはじめ多くの方々の暖かい支援を受けた。  
コンピュータシステム研究部、祿澤部長には本  
兩巻に対し数々の便箋をほか、て頂いた。

(株)日本システムアプリケーション 榎林氏、小

杯氏にはソフトウェア開発の多くを担当して  
頂いた。応用システム研究部、藤田氏にはPS  
I 総合部を開発して頂いた。ここに、感謝の意  
を表わしたい。

#### [参考文献]

- [1] 奥野, 植村: データベースマシン, 情報処理, Vol. 17, No. 10, pp. 940-946 (1976)
- [2] E. A. Ozkarahan, et al.: RAP: An Associative Processor for Data Base Management", Proc. AFIPS NCC, Vol. 44, pp. 379-387 (1975)
- [3] J. Banerjee, D. K. Hsiao: DBC - a database computer for large databases, IEEE Trans. Comput., C-28, No. 6, pp. 414 (1979)
- [4] K. Hakozaki, et al: A conceptual design of generalized database subsystem, Proc. 3rd Int. Conf. on VLDB, pp. 246-253 (1977)
- [5] G. Held, et al: INGRES - A relational data base system, Proc. AFIPS NCC, 1975, pp 409-416
- [6] M. M. Astrahan, et al: SYSTEM-R: Relational Approach to Data Base Management, ACM Trans. on Databases, Vol. 1, No. 2, pp. 97-137 (1976)
- [7] 水原, 他: データベースマシンによる CODASYL 型 DBMS の実現と評価, この電子計算機研究会
- [8] 牧野: B-tree型インデックスにおけるページ内利用率, 情報処理学会論文誌 20, 5 (1979)
- [9] 水原, 他: データベースマシンの同時制御, 電子計算機研究会, EC 78-45 (1978)
- [10] 日吉, 他: データベースマシンを導入したシステム性能解析, EC 78-4 (1978)
- [11] 植村: データベースマシンにおけるバッファ管理方式の考察, EC 78-44 (1978)
- [12] 牧野: データベースシステムにおけるページ置換アルゴリズムについて, EC 79-29 (1979)
- [13] 後辺, 他: 円ディスク構想について, 電子通信学会昭和55年度総合全国大会

## Appendix A GDI コマンド (データ操作コマンド) - 覽

### GDI COMMAND LIST

- (1) RETRIEVE COMMAND
  - 1) Direct Access
    - GET-PRIM-DIRECT (cur\_id, key\_value, field\_list, predicate)
    - GET-IMAGE-DIRECT (cur\_id, key\_value, field\_list, predicate)
  - 2) Relative Access
    - GET-PRIM-NEXT/PRIOR (cur\_id, field\_list, predicate)
    - GET-IMAGE-FIRST/LAST (cur\_id, field\_list, predicate)
    - GET-IMAGE-NEXT/PRIOR (cur\_id, field\_list, predicate)
    - GET-LINK-FIRST/LAST (cur\_id, field\_list, predicate)
    - GET-LINK-NEXT/PRIOR (cur\_id, field\_list, predicate)
    - GET-LINK-OWNER (cur\_id, field\_list, predicate)
    - GET-SCAN-FIRST/LAST (cur\_id, field\_list, predicate)
    - GET-SCAN-NEXT/PRIOR (cur\_id, field\_list, predicate)
    - GET-CURRENT (cur\_id, field\_list)
- (2) UPDATE COMMAND
  - STORE (cur\_id [, key\_value], field\_value\_list [, near rec\_add])
  - UPDATE (cur\_id, field\_list, field\_value\_list)
  - DELETE (cur\_id)
  - CONNECT (cur\_id, rec\_add)
  - DISCONNECT (cur\_id)
- (3) ACCESS PATH CONTROL COMMAND
  - INITIATE-PATH (area\_id, path\_id [, LOCK] [, PREFETCH])
  - RELEASE-PATH (cur\_id)